

3d遷移金属カルコゲナイトにおける 規則-不規則転移及び金属分布

京大理・上田 寛、林 昭彦、小菅 錠二

1. 相関係及び相転移 3d遷移金属カルコゲン化物の多くは、組成 MX (M : 金属, X : カルコゲン) が NiAs 構造、 MX_2 が CdI_2 構造をとる。両構造とも六方晶で、カルコゲン原子のつく3面の六方相密格子の八面体型サイトを金属原子が占めるが、NiAs 構造では全2の八面体型サイトを占めて $\frac{1}{3}$ のに対し、 CdI_2 構造では半分だけ占有し、1カドー層あたり占めて $\frac{1}{3}$ (図1)。中間組成 $M_{1+x}X_2$ では、 CdI_2 構造 MX_2 の $X-X$ 層間 (V 層) が x に応する分だけ部分的に占められる (図1に占有率と組成の関係を示す)。(下段) 面内では規則配列。基本的には六方晶から導かれる個別の超周期構造を持つ、新相が出現する。代表的な規則構造の V 層内の規則配列を図2に、また、セレン化物であらわされる相を表1に示す。この様な空格子の規則配列は高温により不規則化し相転移を示す。空格子の不規則化には次の様な場合を考えられる。(1) 各規則構造において面内の規則配列が不規則になる場合。(2) 面内の不規則化のみならず、 F 層内にも空格子ができる F 層と V 層の占有率が等しくなる場合。(3) 規則度の高い構造からより規則度の低い規則構造へ変化する場合。(1)は各規則構造から CdI_2 型構造 (従って不定比化合物) への転移であり、(2)は NiAs 型構造への転移である。一例として V-Se 系の得らかれた状態図を図3に示す。V-Se 系にかかると、 M_5X_8 相 (V_5Se_8) は V 層内の鎖内 (図2、 M_5X_8 の矢印) の不規則化により M_3X_4 相 (V_3Se_4) (図2、 M_5X_8 の一点鎖線) を示す (下単位胞) へ転移し、更に鎖間の不規則化により CdI_2 構造へ転移する。(こひは場合(3)→(1)に

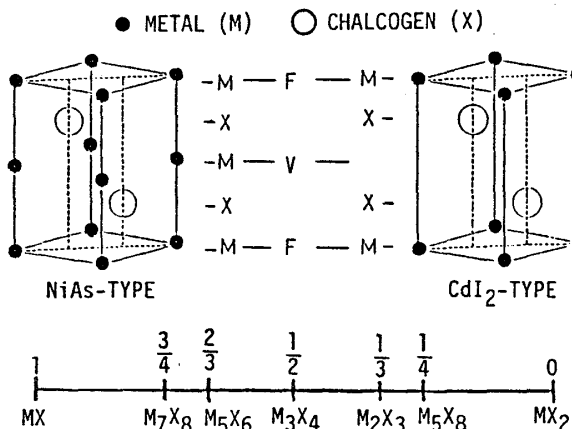


図1. NiAs構造とCdI₂構造。数字は中間組成でのV層内の金属の占有率を、下段は組成式を表わす。

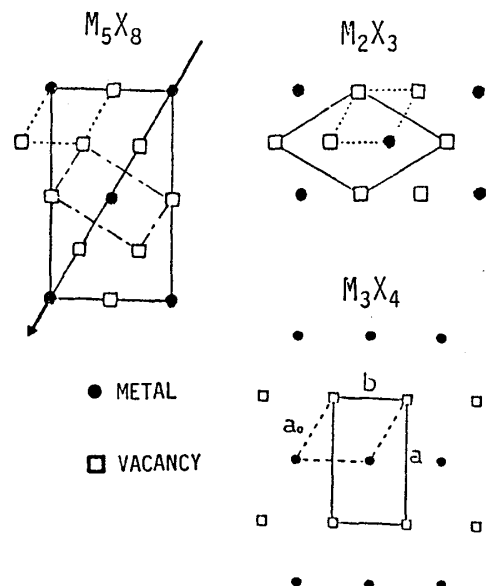


図2. 各規則構造のV層内の規則配列。実線は単位胞、点線は基本となる六方晶の単位胞を表わす。

対応)。CdI₂構造からNiAs構造への転移は観測できなかつた。もう一つの例と12. 摘2元系Cr_xTiSe₂(0<x<1)系の得らされた状態図を図4に示す。この場合、M₅X₈相はM₃X₄相を通らず直接CdI₂構造へ変化する。従つて、Cr_xTiSe₂系の場合M₅X₈相はV-Se系の場合の様な鎖内での不規則化が起らす。面内での不規則化が起らざるものと考えらる。この様な違いは、M₃X₄相とM₅X₈相の間にM₂X₃相が存在するかしないかの違いによるとのと考えらる。間にM₂X₃相を含む系でM₅X₈→M₃X₄→CdI₂の転移が起らるとすれば、M₃X₄相はM₂X₃相の高温相となりうる。しかし、M₃X₄構造とM₂X₃構造を比較してどちらが規則度の高い構造か即ち、どちらかの不規則化によりM₂X₃相からM₃X₄相へ導く事ができるかどうかは不明である。M₂X₃相は面内の不規則化によりCdI₂構造へ転移する方が自然と考えらる。従つて、Cr_xTiSe₂の場合、各規則構造は各々V層内の不規則化によりCdI₂構造へ転移する。この系の場合またCdI₂構造→NiAs構造の転移は行きりきりである。

TYPE	M	Ti	V	Cr	Mn	Fe	Co	Ni
CdI ₂	○	○						
M ₅ X ₈	○	○	△					
M ₂ X ₃	○		○					
M ₃ X ₄	○	○	○		○	○	○	
M ₅ X ₆								
M ₇ X ₈			○		○			
NiAs	△	△	△		○	○	○	

表1. M-Se系で出現する相。
(△は準安定相)

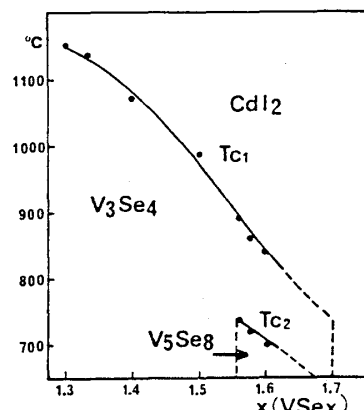


図3. V-Se系の状態図

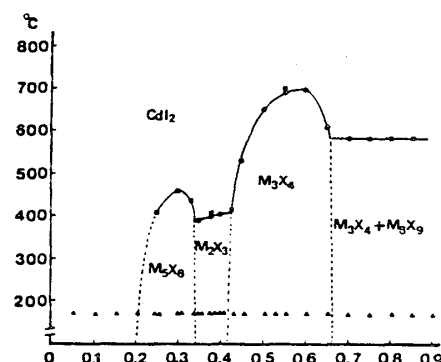


図4. Cr_xTiSe₂系の状態図

2. 金属分布 3d遷移金属カルコゲナイトにおいて最も多く見らる構造はM₃X₄構造である。特にセレン化物の場合、Mnを除く他は全てM₃X₄構造をとる(表1)。M₃X₄構造では、V層内が丁度半分占められていて図2に示す様な規則配列とし、三次元的には図5に示す単位格子となる。従つて、金属原子のサイトは二種類(即ちF層内とV層内)あり、サイト数の比は2:1である。このことから、複合遷移金属カルコゲン化物M'M₂X₄(M₃X₄構造)では、

金属の規則配列ある

いはサイトの選択性
(金属分布)を考え
らる。金属分布形
式には図6に示す様
な三種類考えらる。

(1). 数の多い方の金
属MがF層を占め、
数の少ない方の金属

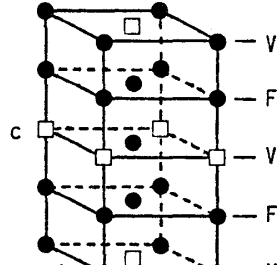


図5. M₃X₄構造の
単位格子(金属のみ)。
□は空格子

M'M₂X₄ (M,M: 3d transition metal.
X: S, Se, Te)

M	F	M, M'	F	M
M'	V	M, M'	V	M
M	F	M, M'	F	M
M'	V	M, M'	V	M
M	F	M, M'	F	M

normal random inverse

図6. M'M₂X₄における金属分布形式

M' がV層を占める：normal型、 $(M')[M_2]X_4$ 。(2)、(1)と逆にMがV層を占め、残り半分のMとM'がF層を占める：inverse型、 $(M)[M'M]X_4$ 。(3)。MとM'が無秩序にF層とV層を占める：random型、 $(M'_3M_{33})[M'_{33}M_{43}]X_4$ 。この様な金属分布は、サイトの選択性は、化学結合や金属イオン間の親和力とい、そのため評価する上でも興味深い。更にインター-カレーションの観点からも興味深い。図7は、 $M'-M-X$ 三元相図の一部を示すものであるが、 $M'M_2X_4$ は擬二元系 $M'X_2$ と $M'MX_2$ を結ぶ線上に含まれる化合物で、これは、 CdI_2 構造 MX_2 のX-X層間に異種金属 M' を挿入してゆく過程で生じる化合物とされる。

$M'M_2X_4$ における金属分布は、果して本当に MX_2 と M' がインター-カレーションされるのかどうかについては直接的な情報を与えづらかである。即ち、 $M'M_2X_4$ がnormal型であれば M' は層間に入り、 M は M' の代となることになる。こうして観点からも $M'M_2X_4$ の金属分布を研究することは大変興味深い。金属分布を直接決定する手段としては、中性子回折、Xスパッタ分析等があげられるが、各々適用される化合物が必ずしもある。 $M'M_2X_4$ は図7に示す様に、 M_3X_4 - M_3X_4 固溶系上の化合物である。従って、固溶系を調べることにより $M'M_2X_4$ の金属分布を推定するまでの情報が得られるのではないかと考えられる。そこで最も多くの金属が M_3X_4 構造をとるセレン化物について各種組み合せによる M'_3X_4 - M_3X_4 固溶系の状態図を検討した。結果を表2に示す。Mnを境に1-Ti, V, CrゲループとFe, Co, Niゲループに分けると、各ゲループ内では各々全率固溶とするが、ゲループ間の組み合せでは全率固溶するものと他に相分離を示すものがある。全率固溶する系での例と1-($Cr_xTi_{1-x})_3Se_4$ 系の格子定数の変化及び

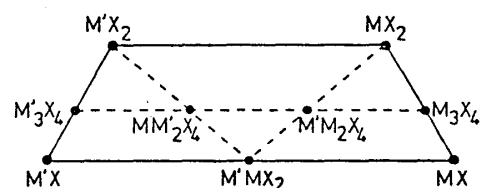


図7. $M'-M-X$ 三元状態図

表2. M'_3Se_4 - M_3Se_4 系の相關係

Ti	V	Cr	Fe	Co	Ni	M'/M
S.S	S.S	S.S	P.S	P.S	Ti	
S.S	S.S	S.S	P.S	P.S	V	
S.S	P.S	P.S			Cr	
S.S	S.S	S.S	Fe			
P.S			S.S	S.S	Co	
					Ni	

S.S : Solid Solution
P.S : Phase Separation

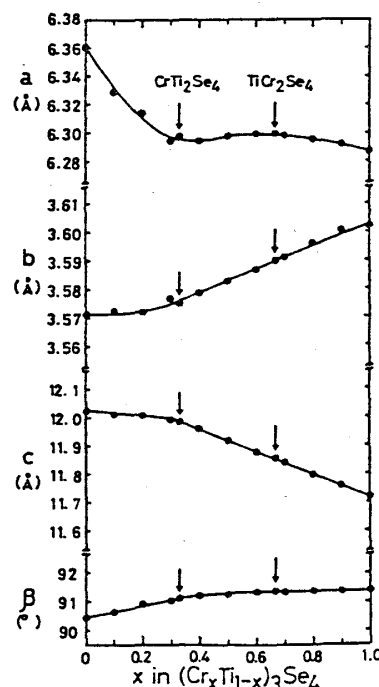


図8. $(Cr_xTi_{1-x})_3Se_4$ 系の格子定数

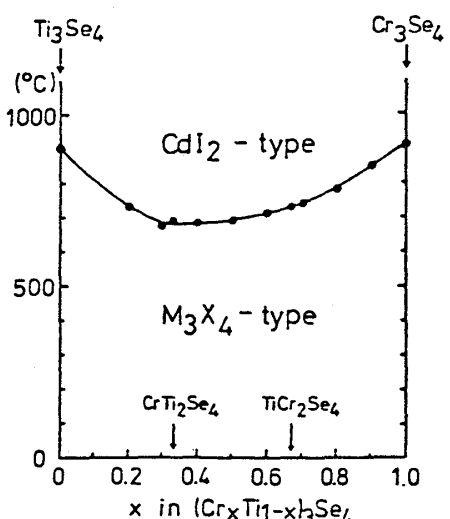


図9. $(Cr_xTi_{1-x})_3Se_4$ 系の状態図

$M_3X_4 - CdI_2$ 相転移温度の変化を図8,9に示す。全率固溶する系では、図8,9にみられる様に、格子定数や転移温度に $X = \frac{1}{3}$ あるいは $\frac{2}{3}$ 即ち $M'M_2X_4$ に相当する所で変曲点が観測される場合が多い。そこで、置換による二つの場合を考えることとする。(1) M' の方が M よりも組成にかかわらず V 層を占める傾向にある。この場合、 $M \equiv M'$ で置換してもよくと M' が選択的に V 層を占め、 $X = \frac{1}{3}$ で normal 型 (M') $[M_2]X_4$ ができる。 $X = \frac{1}{3}$ 以上では F 層の M と置換されなく、 $X = \frac{2}{3}$ で inverse 型 (M') $[MM]X_4$ が形成される。(2) (1) と逆に M の方が V 層を占める傾向にある。この場合、 $X = \frac{1}{3}$ で inverse 型 (M) $[M'M]X_4$ 、 $X = \frac{2}{3}$ で normal 型 (M) $[M'_2]X_4$ が形成される。(3) M は V 層と F 層を占める。この場合、 $M'M_2X_4$ および MM'_2X_4 は必ずしも random 型となる。この様な三つの置換形式を考えると、(1) では $X = \frac{1}{3}$ で、(2) では $X = \frac{2}{3}$ で置換されるサイトの変化があり、各々 $X = \frac{1}{3}, \frac{2}{3}$ 附近になるとが1つの物性の異常がみられることが期待される。この推定によると、 $(Cr_xTi_{1-x})_3Se_4$ 系では $X = \frac{1}{3}$ に変曲点がみられる。しかし、 $CrTi_2Se_4$ は normal 型、 $TiCr_2Se_4$ は inverse 型と推定される。この推定を実証するため、中性子回折実験を行ない、Rietveld 解析により金属分布を決定した。結果

は、 $CrTi_2Se_4$ には 1/2 は $(Cr_{0.7}Ti_{0.29})[Cr_{0.29}Ti_{1.71}]Se_4$ 、 $TiCr_2Se_4$ には 1/2 は $(Cr_{0.81}Ti_{0.16})[Cr_{1.16}Ti_{0.84}]Se_4$ で、各々 normal 型、inverse 型であることを示す。格子定数の変化から推定と一致する。表3に、セレン化物について現在まで得られた結果を示す。興味あることは、よく似た性質をもつ各ブリーフ内でのサイトの選択性があり、また、相手が変わると選択性も大きく変わることである。

次に相分離する例と 1/2 $(Cr_xCo_{1-x})_3Se_4$ 系の状態図を図10に示す。この場合、高温では CdI_2 型の全率固溶を示すが、温度を下げると M_3X_4 型の2相に分離する。相分離の様子を電子顕微鏡で観察すると、90~120 Å のコントラストの異なる交互の織模様が見える。各々の織の格子像から、これは各々 Co 富化側の M_3X_4 と Cr 富化側の M_3X_4 が C 軸方向に交互に折りたたむもので、a, b 軸は両相で一致させている。この様な相分離はスピノーラル分解による相分離と考えられる。この場合、構造が大方晶と等方的でないため、ある軸方向 (C 軸方向) に層状に折りたたむと考えられる。

$M'M_2X_4$	L.P.	Neu	Möss
VTi_2Se_4	N?	N	
TiV_2Se_4	I?		
$CrTi_2Se_4$	N	N	
$TiCr_2Se_4$	I	I	
CrV_2Se_4	I		
VCr_2Se_4	N		
$FeCo_2Se_4$	N?		R?
$CoFe_2Se_4$	I?		R?
$CoNi_2Se_4$	I		
$NiCo_2Se_4$	N		
$NiFe_2Se_4$	N		N
$FeNi_2Se_4$	I		I
$TiFe_2Se_4$?		
$FeTi_2Se_4$?		
VFe_2Se_4	?		
FeV_2Se_4	?		
VCo_2Se_4	?		
CoV_2Se_4	?		
$CrFe_2Se_4$	I		
$FeCr_2Se_4$	N	N	

表3. 格子定数 (L.P.), 中性子回折 (Neu), メスバウア効果 (Möss) により求めた $M'M_2X_4$ の金属分布 (N: normal 型, I: inverse 型, R: random 型)。

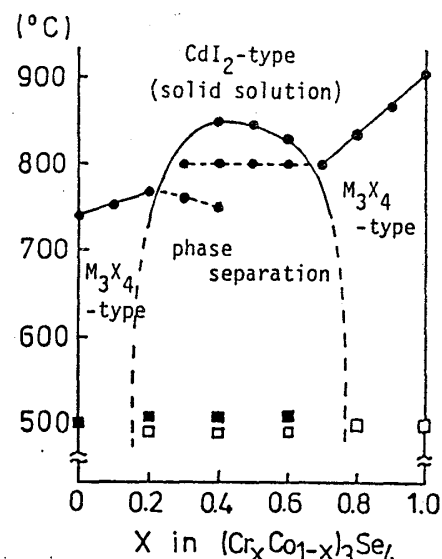


図10. $(Cr_xCo_{1-x})_3Se_4$ 系の状態図